

การลดความผันแปรในค่า MRR จากการขัดที่กระบวนการขัดละเอียด ของหัวอ่านเขียนอาร์ดิสก์

เกษมศักดิ์ ชุณหบุญญทิพย์¹ และ อัชฎา จิประยุกต์เลิศ²
มหาวิทยาลัยเทคโนโลยีพระจอมเกล้าธนบุรี บางมด ทุ่งครุ กรุงเทพฯ 10140

รับเมื่อ 7 มีนาคม 2551 ตอบรับเมื่อ 16 มกราคม 2552

บทคัดย่อ

บทความนี้มีจุดประสงค์ที่นำเสนองานทางในการลดความผันแปรของค่าความต้านทาน (Magneto-Resistive Resistance; MRR) ของหัวอ่านเขียนอาร์ดิสก์ในกระบวนการขัดละเอียด โดยกรณีตัวอย่างศึกษาจากกระบวนการผลิตหัวอ่านเขียนอาร์ดิสก์รุ่นหนึ่ง พบร่วมผลได้ทางไฟฟ้าปัจจุบันอยู่ที่ร้อยละ 91.51 ซึ่งต่ำกว่าเป้าหมาย (ร้อยละ 93 ของชิ้นงานที่ทำการตรวจ) และมีผลได้รวมอยู่ที่ร้อยละ 84.65 ของชิ้นงานที่ทำการผลิต จากการสำรวจของเลี้ยงที่เกิดขึ้น พบร่วมช้อนกพร่องทางไฟฟ้าที่เกิดคือ ความผันแปรของค่าความต้านทานสูง ค่าความต้านทานของผลิตภัณฑ์มีความล้มเหลว กับค่าความต้านทานจากการกระบวนการขัดละเอียดมากที่สุด งานวิจัยนี้จึงมุ่งเน้นที่กระบวนการขัดละเอียด ผนวกกับค่าตัวชี้วัดความสามารถของกระบวนการ (C_{pk}) เท่ากับ 0.85 จึงสามารถยืนยันได้ว่ามีความผันแปรของค่าความต้านทานสูงเนื่องจากความผันแปรระหว่างบาร์ของชิ้นงาน จากนั้นทำการวิเคราะห์สาเหตุโดยการวิเคราะห์ปัจจัยที่มีผลต่อความผันแปรของค่าความต้านทานในงานระหว่างบาร์ด้วยการระดมสมองผ่านแพนภาพกังปลา และพิสูจน์สาเหตุด้วยการออกแบบทดลอง จากการทดลองพบว่า วิธีการกดบาร์มีผลต่อความผันแปรของค่าความต้านทานอย่างมีนัยสำคัญ เนื่องจากวิธีการกดแบบกระจายแรงสามารถลดการบิดตัวของบาร์ก่อนทำการขัด โดยหลังจากนำวิธีการกดบาร์ไปประยุกต์ใช้ในกระบวนการขัดพบว่า ผลได้โดยเฉลี่ยเพิ่มมาอยู่ที่ร้อยละ 91.86 ของชิ้นงานที่ทำการตรวจ ส่งผลให้มีผลได้รวมอยู่ที่ร้อยละ 84.81 ของชิ้นงานที่ทำการผลิต และสามารถเพิ่มค่าตัวชี้วัดนี้ C_{pk} ของค่าความต้านทานจากการกระบวนการขัดละเอียดเท่ากับ 1.26

คำสำคัญ : กระบวนการขีนรูปหัวอ่านเขียนอาร์ดิสก์ / การลดความผันแปร / MRR / กระบวนการขัด

¹ นักศึกษา ภาควิชาวิศวกรรมอุตสาหการ คณะวิศวกรรมศาสตร์

² อาจารย์ ภาควิชาวิศวกรรมอุตสาหการ คณะวิศวกรรมศาสตร์

MRR Sigma Reduction in Fine Lapping Process of Slider Fabrication

Kasemsak Chunhaboonyatip¹ and Adsada Jiraprayuklert²

King Mongkut's University of Technology Thonburi, Bangmod, Toongkru, Bangkok 10140

Received 7 March 2008 ; accepted 16 January 2009

Abstract

This article intends to reduce variation of MRR (Magneto-Resistive Resistance) in Fine Lapping Process of Slider Fabrication. In the case study, it was found that the electrical yield of slider fabrication was 91.51%, which does not meet target at 93% of total inspected parts, and the overall yield of slider fabrication was 84.65% of total produced parts. From the study, the major problem was “out-of-specification MRR”, which was mainly contributed from the fine lapping process. The process capability index (C_{pk}) was 0.85, which indicated that the process had lapping control problem. Next step, the theories of resistance and real lapping process were studied. The factors that impact variation between bar of MRR were defined by cause and effect diagram and experimental design. The several experiments revealed that bar pressing method significantly effects the variation between bar, because the uniform load method can reduce bar twist before lapping. After implementing the new bar pressing method, electrical yield is increased to 91.86% of the total number of inspected parts. The C_{pk} index is increased to 1.26. Finally, overall yield is increased to 84.81% of the total number of produced parts.

Keywords : Slider fabrication / Variation reduction / MRR / Lapping process

¹ Graduated Student, Department of Industrial Engineering, Faculty of Engineering.

² Lecturer, Department of Industrial Engineering, Faculty of Engineering.

1. บทนำ

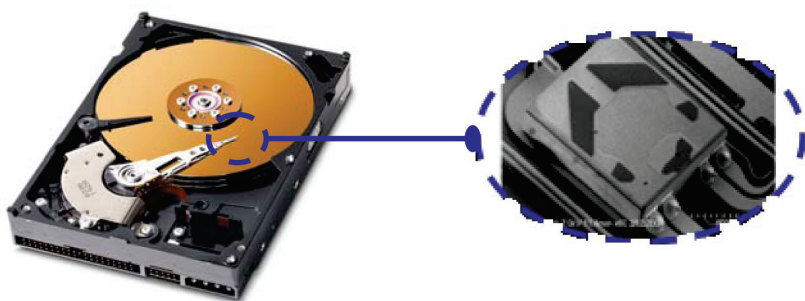
ในปัจจุบันอุตสาหกรรมการผลิตอาร์ดิสก์ไดร์ฟเป็นอีกอุตสาหกรรมหนึ่งที่มีการแข่งขันสูงทั้งในเรื่องของคุณภาพและราคาของตัวผลิตภัณฑ์ อีกทั้งในอนาคตดันนั้นยังมีการขยายตัวอย่างรวดเร็ว จึงมีความจำเป็นที่องค์กรต้องพยายามปรับลดต้นทุนลงและในขณะเดียวกันก็ทำการปรับปรุงคุณภาพการผลิตของผลิตภัณฑ์ไปด้วย พร้อมทั้งสร้างความเชื่อมั่นที่มีต่องค์กรให้กับลูกค้าโดยการลดจำนวนของเสียที่เกิดจากผลิตภัณฑ์ที่นำไปร่วง

ปัจจุบันงานวิจัยต่างๆ ที่มีจุดประสงค์ลดของเสียหรือลดความผันแปรในกระบวนการผลิต เช่น งานวิจัย [1-6] เน้นวิเคราะห์หาสาเหตุจากปัจจัยที่ให้ความสนใจทั้งปัจจัยที่สามารถควบคุมได้และไม่สามารถควบคุมได้ แต่ไม่มีงานวิจัยใดที่พิจารณาถึงปัจจัยที่ถูกละเลยดังแต่ต้นกลั่นมา วิเคราะห์ ในกรณีศึกษาตัวอย่างพบว่า กระบวนการ การที่

เป็นอยู่ในปัจจุบันนี้ได้ค่าคุณลักษณะตรงตามเป้าหมายหรืออยู่ในระดับที่เหมาะสมสมอยู่แล้ว แต่ก็ยังไม่สามารถลดความผันแปรที่เกิดขึ้นในกระบวนการลงได้อีก ในงานวิจัยฉบับนี้จึงนำเสนอแนวทางในการวิเคราะห์โดยนำปัจจัยที่ควบคุมได้และถูกละเลยมาวิเคราะห์และสามารถช่วยลดของเสียได้อย่างเห็นผลชัดเจน

2. วิธีการวิจัย

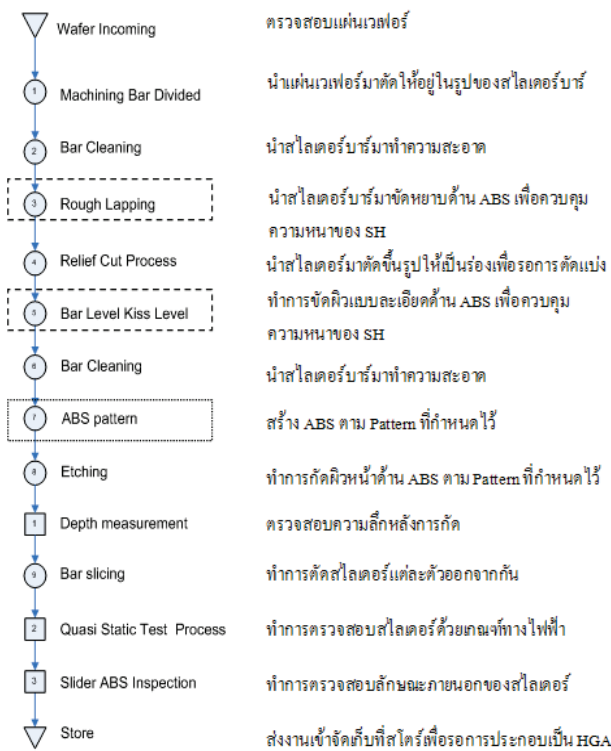
งานวิจัยนี้เริ่มจากการสำรวจหาโอกาสในการปรับปรุงจากการกระบวนการผลิตหัวอ่านเขียนอาร์ดิสก์ พบว่า ในแต่ละไตรมาสนั้นบริษัทมีความสูญเสียเกิดขึ้นจากผลิตภัณฑ์ที่ตกพื้นเป็นจำนวนมากจากการกระบวนการผลิตหัวอ่านเขียนอาร์ดิสก์ โครงสร้างของอาร์ดิสก์และภาพขยายหัวอ่านเขียนอาร์ดิสก์ซึ่งเป็นส่วนประกอบที่ทำการศึกษาในกรณีตัวอย่างนี้ได้แสดงในรูปที่ 1



รูปที่ 1 โครงสร้างของอาร์ดิสก์และภาพขยายหัวอ่านเขียนอาร์ดิสก์

ผลิตภัณฑ์ตัวอย่างที่ใช้ในการศึกษาวิจัยเป็นหัวอ่านเขียนรุ่นหนึ่งซึ่งใช้เทคโนโลยีการบันทึกข้อมูลในแนวเดิง ทำให้ลดพื้นที่การเก็บข้อมูลในแต่ละบิตลงได้ โดยแทนที่พลังแม่เหล็กในการเลือกรุ่นดังกล่าวคือ เป็นรุ่นที่ใช้เทคโนโลยีใหม่ล่าสุดนี้ในขณะที่ทำการศึกษาและอยู่ในช่วงเดิบต่อของวงจรผลิตภัณฑ์ หัวอ่านเขียนรุ่นนี้มีปัญหาเรื่องของผลได้โดยเฉลี่ยทางไฟฟ้า (electrical yield) ปัจจุบันอยู่ที่ร้อยละ 84.65 ของชิ้นงานที่ทำการผลิต จากการสำรวจของเสียที่เกิดขึ้นพบว่ามีข้อบกพร่องทางไฟฟ้าประเภท Magneto-Resistive Resistance (MRR; ค่าความต้านทาน) นั้นสูงหรือต่ำเกินไปหรือมีความผันแปรของค่าความต้านทานสูง ซึ่งเป็นปัญหาที่ส่งผลกระทบรุนแรงต่อผลได้และลูกค้า ในการที่จะวิเคราะห์กระบวนการผลิตหัวอ่านเขียนของอาร์ดิสก์ได้นั้นจะต้องเริ่มจากการทำความเข้าใจกับกระบวนการผลิตเสียก่อน ดังรูปที่ 2

หารด้วยชิ้นงานตัวทั้งหมด) และมีผลได้รวมอยู่ที่ร้อยละ 84.65 ของชิ้นงานที่ทำการผลิต จากการสำรวจของเสียที่เกิดขึ้นพบว่ามีข้อบกพร่องทางไฟฟ้าประเภท Magneto-Resistive Resistance (MRR; ค่าความต้านทาน) นั้นสูงหรือต่ำเกินไปหรือมีความผันแปรของค่าความต้านทานสูง ซึ่งเป็นปัญหาที่ส่งผลกระทบรุนแรงต่อผลได้และลูกค้า ในการที่จะวิเคราะห์กระบวนการผลิตหัวอ่านเขียนของอาร์ดิสก์ได้นั้นจะต้องเริ่มจากการทำความเข้าใจกับกระบวนการผลิตเสียก่อน ดังรูปที่ 2



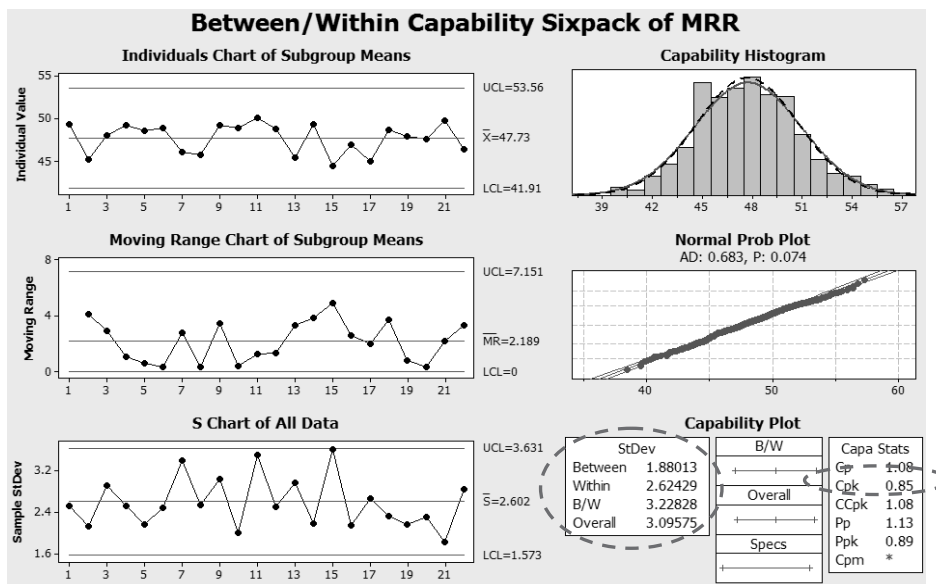
รูปที่ 2 แผนภูมิกระบวนการผลิตหัวอ่านเขียนฮาร์ดดิสก์

จากรูปที่ 2 แผ่นเวเฟอร์ได้รับการตัดเป็นบาร์แล้วจึงผ่านกระบวนการทำความสะอาด กระบวนการขัดหยาบ และขัดละเอียด และกระบวนการอื่นๆ เพื่อให้ได้ชิ้นงานที่เรียกว่า สไลเดอร์ (slider) หรือหัวอ่านเขียนฮาร์ดดิสก์ ค่า MRR เป็นค่าความด้านทานที่วัดได้หลังจากผ่านกระบวนการขัดหยาบและขัดละเอียด เพื่อแสดงถึงความหนาของบาร์ซึ่งจะกล่าวเป็นความยาวของหัวอุปกรณ์ภายในหัวอ่านเขียนฮาร์ดดิสก์ [7, 8] ดังนั้นกระบวนการที่หลักที่สุด คือ กระบวนการขัดหยาบ (Rough Lapping; RL) และกระบวนการขัดละเอียด (Bar Level Kiss Level; BLKL) ที่ทำหน้าที่ในการควบคุมความยาวของหัวอุปกรณ์ภายในหัวอ่านเขียนฮาร์ดดิสก์ที่เรียกว่า Stripe Height; SH จากการศึกษาเพิ่มเติมพบว่าค่าความด้านทานของผลิตภัณฑ์มีความสัมพันธ์กับค่าความด้านทานจากกระบวนการขัดละเอียดมากที่สุด เมื่อวิเคราะห์ความสามารถของกระบวนการจากการคำนวณค่าของดัชนี C_{pk} เท่ากับ 0.85 ดังรูปที่ 3 หมายความว่ามีความผันแปรของค่าความด้านทานจากการกระบวนการขัดละเอียดสูง เมื่อพิจารณา

ค่าความเบี่ยงเบนมาตรฐาน (StDev จากรูปที่ 3) พบว่า ความเบี่ยงเบนมาตรฐานของความด้านทานระหว่างล็อตที่ผลิตจากกระบวนการ (Between) มีค่าน้อยกว่าความเบี่ยงเบนมาตรฐานความด้านทานระหว่างบาร์ (Within) จึงสามารถยืนยันได้ว่ามีความแตกต่างของค่าความด้านทานระหว่างบาร์เกิดขึ้น ในการดำเนินงานเพื่อลดความแตกต่างของค่าความด้านทานระหว่างบาร์นั้นมีวิธีการดำเนินงานดังนี้

2.1 การวิเคราะห์ระบบการวัด

เริ่มดำเนินการโดยทำการประเมินระบบการวัดเพื่อพิจารณาถึงความผันแปรในระบบการวัดที่เกิดขึ้นว่ามีค่าเท่าใดแล้วความผันแปรที่เกิดขึ้นนั้นสามารถที่จะยอมรับได้หรือไม่ โดยเครื่องวัด Quasi Static Test (QST) เป็นเครื่องวัดอัตโนมัติซึ่งจะให้พนังงานค่อนข้างใกล้ในคาดที่เตรียมไว้และหยิบงานออกเท่านั้น จึงไม่พิจารณาปัจจัยด้านพนังงานที่ทำหน้าที่ในการตรวจ



รูปที่ 3 การวิเคราะห์ความสามารถของกระบวนการขัดละอียด

2.2 การวิเคราะห์สาเหตุของปัญหา

ดำเนินการวิเคราะห์ถึงสาเหตุที่ก่อให้เกิดความผันแปรของค่าความต้านทานของงานระหว่างบาร์โดยในการลีบคันห้าสาเหตุเบื้องต้นนั้นจะใช้หลักการ 3 จริง [9] แล้วทำการระดมสมองร่วมกับผู้เกี่ยวข้องกับสายการผลิตของกระบวนการขัดละอียดผ่านแผนภาพก้างปลาแบบกำหนด รายการของสาเหตุซึ่งช่วยให้ได้รายละเอียดอย่างครบถ้วน และวิจัยทำการพิสูจน์ตามข้อเท็จจริงสำหรับการแก้ไขต่อไป

2.3 การทดสอบและวิเคราะห์ปัจจัยที่ควบคุมได้และได้รับการควบคุมปัจจุบัน

เมื่อทำการวิเคราะห์สาเหตุแล้วพบว่าปัจจัยในการผลิตที่อาจจะส่งผลต่อความผันแปรของค่าความต้านทานมีปัจจัยได้บ้าง หลังจากนั้นต้องทำการพิสูจน์ว่า ปัจจัยใดที่ส่งผลกระทบต่อความผันแปรของค่าความต้านทานอย่างมีนัยสำคัญ ซึ่งจะเรียกว่าปัจจัยที่ส่งผลต่อความผันแปรของค่าความต้านทานว่า สาเหตุรากเหง้า การพิสูจน์ปัจจัยที่ส่งผลกระทบนี้ใช้การทดลองในกระบวนการผลิตจริง เพื่อให้จำนวนการทดลองไม่มากจนเกินไปจึงออกแบบการทดลองเพื่อกรองปัจจัยก่อน หลังจากนั้นจึง

ทำการทดลองเพิ่มเติมเพื่อวิเคราะห์อิทธิพลร่วม (interaction effect) โดยมีปัจจัยเวลาในการขัด (lapping time) เป็นปัจจัยที่ไม่สามารถควบคุมได้ที่ต้องพิจารณาในขณะที่ทำการทดลอง เนื่องจากเวลาในการขัดเป็นตัวชุดเซย์เนื่องจากความคงของผงชั้นในกระบวนการขัด ซึ่งส่งผลให้อัตราการขัดลดลงเมื่อใช้ajanขัดไประยะหนึ่งทำให้เวลาในการขัดต้องเพิ่มขึ้นเมื่อความคงลดลงซึ่งส่งผลให้อัตราการขัดลดลงตามไปด้วย

2.3.1 การทดสอบกรองปัจจัยโดยใช้วิธีการของทากูชิ [10]

ในขั้นตอนของการกรองปัจจัยนั้นจำเป็นต้องใช้ความรู้ในงานวิศวกรรมและทฤษฎีมาทำการกรองปัจจัยบางตัวออกไป ในกรณีที่มีบ้างปัจจัยไม่สามารถสรุปผลได้จึงต้องดำเนินการพิสูจน์สาเหตุที่ส่งสัญ โดยในงานวิจัยนี้ใช้วิธีการของทากูชิ เนื่องจากมี 3 ปัจจัยที่มี 3 ระดับคือ ปัจจัยความเร็วของajanขัด ความเร็วของแขนกล และความสูงของแขนกล ส่วนอีก 2 ปัจจัย คือ ตำแหน่งการติดバーและระยะขัดมี 2 ระดับ ซึ่งจากเงื่อนไขดังกล่าวจะถูกนำไปใช้ในเลือกเป็นตาราง Orthogonal Array; OA L18 ($2^1 \times 3^7$) สำหรับใช้ในการกรองหาปัจจัยโดยใช้ระดับความ

มีนัยสำคัญ 0.10 ซึ่งจะนำแผนการออกแบบทดลองที่ได้ไปใช้เก็บข้อมูลจริงในการผลิต

2.3.2 การออกแบบทดลองโดยใช้ 2^k

แฟคทอร์เรียล

ในการทดลองแบบ 2^k แฟคทอร์เรียลนี้จะนำปัจจัยที่ผ่านการกรองปัจจัยด้วยวิธีการของทางชีวภาพมาถึงอิทธิพลร่วมของปัจจัยที่มากกว่า 2 ปัจจัยขึ้นไปว่ามีผลต่อความผันแปรของค่าความด้านท่านระหว่างบาร์อย่างมีนัยสำคัญหรือไม่ โดยก่อนออกแบบการทดลองจำเป็นต้องหาจำนวนของสิ่งตัวอย่างที่ใช้ในการทดลองโดยกำหนดระดับของอำนาจในการทดสอบอยู่ที่ร้อยละ 85 เพื่อความผิดพลาดจากการตัดสินใจน้อยและจำนวนการทดลองอยู่ในระดับที่สามารถทำได้ในสายการผลิตจริง ดังนั้นมือทุรานจำนวนของปัจจัยที่ต้องการจะศึกษา ระดับของปัจจัยแต่ละตัว (ข้อกำหนดเฉพาะของกระบวนการที่ใช้อยู่ในปัจจุบัน) ระดับความมีนัยสำคัญ และขนาดสิ่งตัวอย่าง ก็สามารถทำการออกแบบการทดลองได้ จากนั้นจึงนำแผนการออกแบบการทดลองไปดำเนินการทดลองจริงในสายการผลิตต่อไป

2.4 การทดสอบและวิเคราะห์ปัจจัยที่ควบคุมได้แต่ถูกกละเหลยในกระบวนการผลิต

หลังจากทำการวิเคราะห์ปัจจัยที่ควบคุมได้และปัจจัยที่ควบคุมไม่ได้ว่า ส่งผลต่อค่าความด้านท่านระหว่างบาร์หรือไม่แล้ว ในบางกรณีปัจจัยเหล่านี้ยังไม่สามารถลดความแตกต่างของค่าความด้านท่านระหว่างบาร์ได้อย่างเพียงพอ จึงจำเป็นที่จะต้องศึกษาถึงปัจจัยอื่นๆ ที่ถูกกละเหลยมาตั้งแต่ต้น การทดสอบปัจจัยที่สามารถควบคุมได้แต่ถูกกละเหลยของกรณีตัวอย่างนี้กระทำโดยใช้ 2-sample t เพื่อพิสูจน์สมมุติฐานที่ว่าวิธีการกดไม่มีผลต่อความแตกต่างของความด้านท่านระหว่างบาร์ โดยการควบคุมปัจจัยตัวอื่นๆ ในการทดสอบนี้จะใช้ตามมาตรฐานเดิมแต่เปลี่ยนเฉพาะปัจจัยวิธีการกดบาร์เท่านั้น โดยเริ่มจากดำเนินการ

หาจำนวนสิ่งตัวอย่างเพื่อใช้ในการทดสอบปัจจัย โดยกำหนดเงื่อนไขในการทดลอง ดังนี้

- กำหนดระดับนัยสำคัญที่ 0.05 ต้องการให้มีความเสี่ยงในการตัดสินใจน้อย
- กำหนดระดับของอำนาจในการทดสอบร้อยละ 85 เพื่อให้มีความถูกต้องสูง และจำนวนในการทดลองอยู่ในระดับที่สามารถทำได้ในสายการผลิตจริง
- ค่าความแตกต่างของค่าเฉลี่ยที่สามารถยอมรับได้ในระหว่างกระบวนการขัดลักษณะอยู่ที่ 4 โอห์ม ถ้าหลังจากการขัดพบว่า ค่าความด้านท่านแตกต่างกันเกิน 4 โอห์ม จะส่งผลและต้องรีบแก้ไข
- ค่าความเบี่ยงเบนมาตรฐานของค่าความด้านท่านในกระบวนการขัดลักษณะอยู่ที่ 2.624 โอห์ม จากนั้นจึงไปดำเนินการเก็บข้อมูลจริงในสายการผลิต

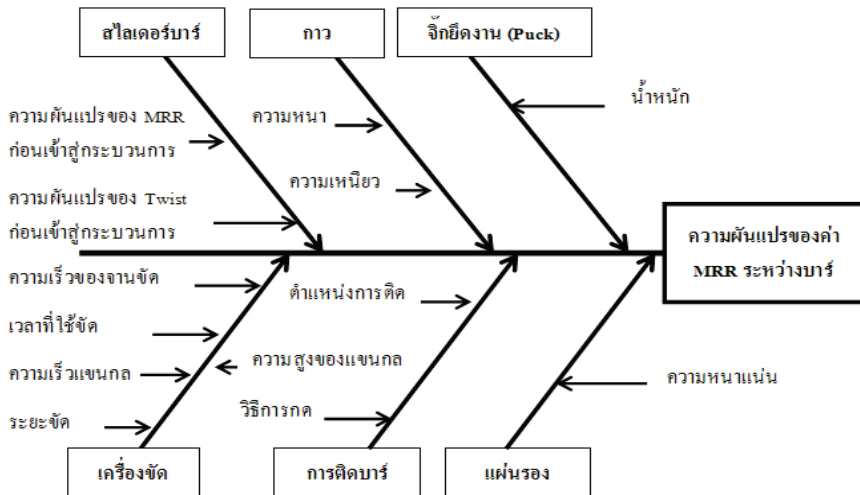
3. ผลและวิจารณ์การทดลอง

3.1 ผลการวิเคราะห์ระบบการวัด

ผลการประเมินระบบการวัดพบว่าความผันแปรของข้อมูลที่วัดได้มีสาเหตุมาจากกระบวนการขัดลักษณะ เอียดเป็นส่วนใหญ่ และเป็นความผันแปรที่มาจากการวัด (Total Gage R&R) เพียงร้อยละ 0.55 ซึ่งอยู่ในเกณฑ์ที่ยอมรับได้ (ความผันแปรจากเครื่องวัดมีค่าน้อยกว่าร้อยละ 10 อยู่ในเกณฑ์ดี) [11] ทำให้มั่นใจได้ว่าค่าความด้านท่านที่เครื่องวัดได้นั้นสะท้อนถึงความผันแปรที่มาจากการกระบวนการขัดลักษณะจริงๆ คือระบบการวัดไม่มีอิทธิพลต่อความผันแปรในการวัด

3.2 ผลการวิเคราะห์สาเหตุของปัญหา

จากการระดมสมองร่วมกับผู้มีความรู้เกี่ยวกับกระบวนการขัดลักษณะเอียดและมีประสบการณ์มาไม่ต่ำกว่า 10 ปี ได้แก่ ผู้จัดการแผนก วิศวกรรมคุณเครื่อง หัวหน้าช่างซ่อมบำรุง ช่างเทคนิค และพนักงาน แผนภาพก้างปลาที่ได้ดังแสดงในรูปที่ 4



รูปที่ 4 แผนภาพก้างปลาแสดงเหตุและผลของการที่ค่าความต้านทานมีความผันแปรระหว่างบาร์

สาเหตุที่เป็นไปได้ทั้งหมดที่ส่งต่อความผันแปรของค่าความต้านทานระหว่างบาร์ ซึ่งปัจจัยสามารถควบคุมได้และได้รับการควบคุมตามมาตรฐานอยู่ในปัจจุบัน ยกเว้นวิธีการกดบาร์เป็นปัจจัยที่ยังไม่ได้รับการควบคุมเนื่องจากยังไม่มีมาตรฐานการปฏิบัติงาน และพนักงานแต่ละคนเป็นปฏิบัติไม่เหมือนกัน (สามารถดูรายละเอียดการกดบาร์ได้ในหัวขอ 3.4)

เมื่อนำวิธีการของทากูชิมาช่วยเพื่อกรองหาปัจจัยที่ส่งผลต่อความผันแปรของค่าความต้านทานของงานระหว่างบาร์รวมกับความรู้ในงานวิศวกรรมทำให้มีปัจจัยบางตัวที่ไม่ได้เลือกมาพิสูจน์ซึ่งสามารถศึกษาเพิ่มเติมจาก [12] โดยผลการบททวนแผนภาพก้างปลา พนว่าสาเหตุที่น่าจะส่งผลต่อค่าความผันแปรของค่าความต้านทานอย่างมีนัยสำคัญ 6 ปัจจัย โดยมี 5 ปัจจัย คือ ตำแหน่งการติดบาร์ (A) ความเร็วของงานขัด (B)

ความเร็วของแขนกล (C) ระยะขัด (D) และความสูงของแขนกล (E) เป็นปัจจัยที่สามารถควบคุมได้และมีการควบคุมอยู่ในปัจจุบัน ส่วนอีก 1 ปัจจัยคือ วิธีการกดบาร์ เป็นปัจจัยที่ยังไม่ได้รับการควบคุมในปัจจุบัน ซึ่งเหตุผลสำคัญ 2 ประการที่ทำให้ปัจจัยนี้เป็นปัจจัยที่ไม่ได้รับการควบคุม คือ ข้อแรกร่วมกันในโรงงานต้องอย่างเชื่อมโยงกัน หนักของจี้กี้ดง (puck) ที่ใช้ในกระบวนการขัด ละเอี้ดันน์จะช่วยลดทับงานในขณะที่ทำการขัด ทำให้พนักงานวางแผนของชิ้นงานลงบนภาชนะที่ติดกับจี้กี้ดงก็เพียงพอแล้ว ข้อสองการล้มล้างกับชิ้นงานอาจทำให้เกิดการบ่นเบื้องหน้า จากนั้นจึงทำการพิสูจน์สมมุติฐานว่า ปัจจัยดังๆ เหล่านี้มีผลจริงหรือไม่ ด้วยการออกแบบการทดลอง โดยระดับของปัจจัยที่ใช้ในการกรองปัจจัยดังตารางที่ 1

ตารางที่ 1 ปัจจัยที่ป้อนเข้าและระดับของปัจจัยที่ใช้อยู่ในปัจจุบัน

ปัจจัยที่ป้อนเข้า	หน่วย	ระดับพารามิเตอร์ในการทดลอง (Level)		
		Low	Mid	High
1. ตำแหน่งการติดบาร์ (bar position) ; (A)	แบบ	I	-	II
2. ความเร็วของงานขัด (speed plate) ; (B)	รอบ/นาที	2	3	4
3. ความเร็วของแขนกล (oscillation speed) ; (C)	Stroke/นาที	1	2	3
4. ระยะขัด (stroke length) ; (D)	นิ้ว	1.1	-	2
5. ความสูงของแขนกล (arm height) ; (E)	นิ้ว	0.62	0.63	0.64

3.3 ผลการทดสอบและวิเคราะห์ปัจจัยที่ควบคุมได้และได้รับการควบคุมปัจจุบัน

3.3.1 ผลการทดสอบกรองปัจจัยโดยใช้วิธีการของทางชีวภาพ

ผลการกรองปัจจัยด้วยวิธีของทางชีวภาพ Signal-to-noise ratio พบว่าปัจจัยความเร็วของงานขัด (B) ความเร็วของแขนกล (C) และระยะขัด (D) มีผล

ต่อค่าความผันแปรค่าความต้านทานของงานระหว่างบาร์อย่างมีนัยสำคัญ ที่ระดับความมีนัยสำคัญ 0.10 ดังรูปที่ 5 การกรองปัจจัยด้วยวิธีนี้เป็นการศึกษาที่จะปัจจัย ดังนั้นจึงต้องนำหัว 3 ปัจจัยไปออกแบบการทดลองโดยใช้โดยใช้ 2^k แฟคทอเรียลอิกครั้งเพื่อพิจารณาถึงอิทธิพลร่วมระหว่าง 2 ปัจจัยที่เกิดขึ้นด้วย

Linear Model Analysis: SN ratios versus A, B, C, D, E

Estimated Model Coefficients for SN ratios

Term	Coeff	SE Coef	T	P
Constant	25.0614	1.066	23.511	0.000
A 1	0.8004	1.005	0.796	0.446
B 1	4.5067	1.421	3.171	0.011
B 2	-0.4058	1.421	-0.285	0.782
C 1	-3.1933	1.421	-2.247	0.051
C 2	1.4548	1.421	1.024	0.333
D 1	2.1016	1.066	1.972	0.080
E 1	-1.2516	1.421	-0.881	0.401
E 2	3.9479	1.421	2.778	0.021

$$S = 4.264 \quad R-Sq = 76.9\% \quad R-Sq(adj) = 56.4\%$$

Analysis of Variance for SN ratios

Source	DF	Seq SS	Adj SS	Adj MS	F	P
A	1	11.53	11.53	11.53	0.63	0.446
B	2	223.75	223.75	111.88	6.15	0.021
C	2	92.01	92.01	46.01	2.53	0.134
D	1	70.67	70.67	70.67	3.89	0.080
E	2	146.53	146.53	73.27	4.03	0.056
Residual Error	9	163.62	163.62	18.18		
Total	17	708.12				

รูปที่ 5 ผลการทดสอบกรองปัจจัยโดยใช้วิธีการของทางชีวภาพ

3.3.2 ผลการออกแบบการทดลองโดยใช้ 2^k แฟคทอร์เรียล

การทดลองนี้มีปัจจัยที่สามารถควบคุมได้แล้วทำการปรับค่ามีอยู่ 3 ปัจจัย ดังที่กล่าวมาแล้วข้างต้นและมี 1 ปัจจัยที่เป็นปัจจัยที่ไม่สามารถควบคุมได้ในขณะที่ทำการทดลอง คือปัจจัยเวลาในการขัด ทำให้ในการทดลองนี้ จึงวิเคราะห์ผลด้วยวิธี Analysis of Covariance; ANACOVA โดยเลือกทำการทดลองที่ 3 ชั้น เพราะให้ค่าระดับของอำนาจในการทดสอบสูงถึงร้อยละ 94 และสามารถที่จะทำการทดลองได้จริง จึงทำให้มีการทดลอง

ทั้งหมด 24 การทดลอง จากผลการทดลองในรูปที่ 6 พบว่า ไม่มีอิทธิพลร่วมของปัจจัยดังกล่าว โดยปัจจัยที่มีผลต่อความผันแปรของค่าความต้านทานระหว่างบาร์อย่างมีนัยสำคัญ คือ ความเร็วของงานชั้ด ระยะเวลาในการขัด ดังสมการที่ 1 แสดงความสัมพันธ์ของปัจจัยต่างๆ ดังกล่าวกับค่าความต้านทานระหว่างบาร์ (ความต้านทานเฉลี่ยของบาร์) ซึ่งเป็นสมการที่ได้จากการทดลองและมีความถูกต้องในระดับที่ยอมรับได้ ($PRESS = 76.2877$) และเพื่อให้งานที่ขัดจากกระบวนการขัดละเอียดได้ตามค่าเป้าหมาย

$$MRR = 39.1585 - 0.06953 \text{ laptime} + 2.46426 \text{ speed plate} + 2.35399 \text{ stroke length} \quad (1)$$

Factorial Fit: MRR I versus Laptime, Speed plate, ...

Estimated Effects and Coefficients for MRR I (coded units)						
Term	Effect	Coef	SE Coef	T	P	
Constant		49.4129	1.13811	43.42	0.000	
Laptime		-0.0695	0.02196	-3.17	0.005	
Speed plate		3.6964	1.8482	0.32582	5.67	0.000
Oscillation speed		0.7074	0.3537	0.32582	1.09	0.291
Stroke length		2.1186	1.0593	0.32582	3.25	0.004
$S = 1.59620$ $PRESS = 76.2877$						
$R-Sq = 73.96\%$ $R-Sq(pred) = 58.96\%$ $R-Sq(adj) = 68.47\%$						

Analysis of Variance for MRR I (coded units)

Source	DF	Seq SS	Adj SS	Adj MS	F	P
Covariates	1	25.55	25.55	25.550	10.03	0.005
Main Effects	3	111.91	111.91	37.304	14.64	0.000
Residual Error	19	48.41	48.41	2.548		
Total	23	185.87				

Unusual Observations for MRR I

Obs	StdOrder	MRR I	Fit	SE Fit	Residual	St Resid
11	14	45.5109	48.9074	0.6634	-3.3965	-2.34R

R denotes an observation with a large standardized residual.

Estimated Coefficients for MRR I using data in uncoded units

Term	Coef
Constant	39.1585
Laptime	-0.0695282
Speed plate	2.46426
Oscillation speed	0.353704
Stroke length	2.35399

รูปที่ 6 ผลการวิเคราะห์ผลการทดลอง 2^3 แฟคทอร์เรียล

โดยเป้าหมายในการขัดงานรุ่นตัวอย่างนี้ในแต่ละบาร์จะอยู่ที่ 48 โหร์ม เมื่อพิจารณา main effect plot และความสอดคล้องในการปรับตั้งเพิ่มเติม [12] พบว่าควรตั้งระยะขัดที่

$$speed\ plate = [48 - 39.1585 + (0.06953 \times laptimes) - (2.35399 \times 2)] / 2.46426 \quad (2)$$

จากสมการที่ 2 แสดงการปรับตั้งโดยอาศัยความเร็วของงานขัดเป็นตัวชุดเซย์อัตราการขัดที่เกิดจากระยะเวลาขัดแต่ละระดับ ซึ่งการปรับระยะเวลาขัด เป็นไปได้ยากในการผลิตจริง โดยที่ให้ความต้านทานของงานในแต่ละบาร์ใกล้ล้ำ parity ที่ 48 โหร์ม และตั้งระยะขัดไว้ที่ 2 นิ้ว หลังจากนั้นจึงนำสมการที่ 2 ไปใช้จริง โดยทำการทดลองกับงานจำนวน 3 ล็อตต่อเนื่องกัน โดยมีเงื่อนไขในการทดลองให้เป็นไปตามมาตรฐานการปฏิบัติ ในปัจจุบัน แต่จะเพิ่มเติมในส่วนของการนำสมการเข้ามาช่วยคาดความเร็วของงานขัดเพื่อให้งานในแต่ละล็อตมีค่าความต้านทานในแต่ละบาร์ในล็อตใกล้เคียงค่าเป้าหมายที่ 48 โหร์ม โดยผลจากการทดลองจริงพบว่าตัวแบบทดสอบที่นำมาใช้งานนั้นยังไม่เหมาะสมกับการนำไปใช้งานจริงเนื่องจากยังมีค่าปัจจัยอื่นที่ไม่สามารถควบคุมได้อีก 1 ประบท อีก เช่น ความหนาแน่นของผงเพชรที่อัดลงบนงานขัด ค่าความเรียบของผิวงานขัด เป็นต้น ซึ่งทั้ง 2 ปัจจัยดังกล่าวอย่างไม่มีตัววัดเนื่องจากมีข้อจำกัดทางด้านเครื่องมือวัด ซึ่งถ้าในอนาคตทั้ง 2 ปัจจัยสามารถวัดค่าได้จะทำให้ได้ตัวแบบทดสอบที่มีความสอดคล้องกับสภาพการทำงานจริงมากยิ่งขึ้น

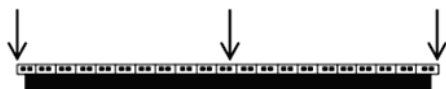
3.4 ผลการทดสอบและวิเคราะห์ปัจจัยที่ควบคุมได้แต่ถูกละเลยในกระบวนการผลิต

เนื่องจากผลการทดสอบตัวแบบทดสอบที่สร้างจากปัจจัยที่ได้รับการควบคุม แล้วทำการปรับไปยังระดับของปัจจัยที่ให้ค่าที่เหมาะสมพบว่า ค่าความต้านทานของชิ้นงานในทรายบาร์มีค่าใกล้เคียงเป้าหมาย แต่มีชิ้นงานบางบาร์มีค่าความต้านทานแตกต่างไปอย่างมาก ซึ่งหมายความว่าไม่สามารถลดความผันแปรของความ

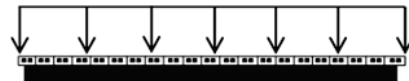
2 นิ้ว และเมื่อแทนค่าลงใน MRR = 48 ในสมการที่ 1 สามารถสร้างตัวแบบใหม่ได้ ดังสมการที่ 2

ต้านทานระหว่างบาร์ลงได้ คาดว่าสาเหตุน่าจะมาจาก 2 กลุ่มหลัก คือ 1) ปัจจัยที่ควบคุมไม่ได้ ดังได้กล่าวไว้แล้ว ในหัวข้อ 3.3.2 และ 2) ปัจจัยที่ควบคุมได้ แต่ไม่ได้รับการควบคุมในปัจจุบัน ดังนั้นจึงกลับไปพิจารณาถึงปัจจัยที่สามารถควบคุมได้ แต่ไม่ได้รับการควบคุม นั่นก็คือ วิธีการกดบาร์ โดยมีแนวความคิดในการพิจารณาเรื่องวิธีการกดบาร์คือ ก่อนเข้าสู่กระบวนการการขัดจะอีด ชิ้นงาน สไลเดอร์บาร์ มีลักษณะเป็นหัวอ่อนจำนวน 54 ตัวที่เรียงติดกัน โดยบาร์จะต้องติดอยู่บนการและผ่านกระบวนการขัดหมายมาก่อน การที่สไลเดอร์บาร์มีลักษณะเป็นบาร์ที่มีขนาดเล็กมากถูกยึดอยู่บนการแล้วทำการขัดหมาย จึงทำให้งานเกิดความเครียดขึ้นและบิดตัวได้ ซึ่งการที่บาร์บิดนั้นจะทำให้ระบบของบาร์ ณ ตำแหน่งที่เกิดการบิดแนบไม่สนิทเมื่อถูกติดลงบนการ และเมื่อชิ้นงานที่บิดถูกนำไปขัดต่อในกระบวนการขัดจะทำให้ค่าความหนาของชิ้นส่วนที่บิดและไม่บิดมีความแตกต่างกันมากเมื่อกำหนดเวลาในการขัดคงที่ ส่งผลให้ค่าความต้านทานซึ่งมีความสัมพันธ์กับความหนาของชิ้นงานมีความแตกต่างเกิดขึ้นระหว่างชิ้นงานที่เกิดการบิดและชิ้นงานที่ไม่บิด

ด้วยเหตุผลดังกล่าววิธีการวางแผนบาร์บนการในปัจจุบันคือ กด 3 จุด ดังในรูปที่ 7 ก อาจจะไม่ได้ช่วยให้สไลเดอร์บาร์ลดการบิดตัวจากความเครียดที่เกิดขึ้นในกระบวนการขัดหมายลงได้ อีกทั้งยังไม่มีวิธีการกดบาร์อยู่ในมาตรฐานการปฏิบัติงาน ส่วนในรูปที่ 7 ข นั้นแสดงแนวความคิดใหม่ซึ่งเป็นวิธีการกดบาร์โดยให้แรงในลักษณะที่มีการกระเจาแรงเท่าๆ กันไปตลอดทั้งความยาวของสไลเดอร์บาร์ ซึ่งทำได้โดยการใช้น้ำหนักกดทับลงไปบนสไลเดอร์บาร์ก่อนทำการขัด เพราะวิธีนี้น่าจะช่วยให้บาร์ที่มีความเครียดอยู่แล้วสามารถลดการบิดตัวของสไลเดอร์บาร์ลงได้



ก.) วิธีการกดแบบจุด (point-load)



ข.) วิธีการกดแบบกระจายแรง (uniform-load)

รูปที่ 7 แนวความคิดของวิธีการกดบาร์

โดยผลการทดสอบด้วยวิธี 2-sample t พ布ว่า วิธีการกดทั้ง 2 วิธีให้ค่าความต้านทานเฉลี่ยของแต่ละบาร์แตกต่างกันอย่างมีนัยสำคัญ ที่ระดับนัยสำคัญ 0.05 ($P\text{-value} = 0.000$) หมายความว่าวิธีการกดสไลเดอร์บาร์โดยให้แรงในลักษณะที่มีการกระจายแรงตลอดทั้งบาร์ ก่อนทำการขัดให้ค่าความต้านทานเฉลี่ยแตกต่างจาก MRR ในการกดแบบ 3 จุด และในการทดสอบความแปรปรวนของค่า MRR ระหว่างบาร์ด้วย F-test ($H_0: \sigma$ วิธีการกดใหม่ $< \sigma$ วิธีการกดเดิม) พ布ว่าวิธีการกดใหม่ (กดแบบกระจายแรง) ให้ค่าความแปรปรวน MRR ระหว่างบาร์น้อยกว่าวิธีเดิม (กดแบบจุด) อย่างมีนัยสำคัญ ที่ระดับนัยความสำคัญ 0.05 ($P\text{-value} = 0.0049$) หมายความว่าวิธีการกดบาร์แบบกระจายแรงช่วยให้ค่า MRR ของงานในแต่ละบาร์ออกมากใกล้เคียงกับวิธีการเดิม จากนั้น จึงพิจารณาถึงผลกระทบที่เกิดขึ้นจากการที่มีน้ำหนักไปกด

ทั้งงานก่อนที่จะมีการขัดละเอียดเกิดขึ้น โดยการนำชิ้นงานไปวัดค่าพารามิเตอร์ทางไฟฟ้าตัวอื่นๆ ประมาณ 14 ตัว ซึ่งพบว่าวิธีการกดบาร์แบบใหม่นี้ไม่ทำให้ค่าพารามิเตอร์ทางไฟฟ้าตัวอื่นๆ หลุดออกนอกข้อกำหนดเฉพาะ (specification)

3.5 การยืนยันผลการทดลอง

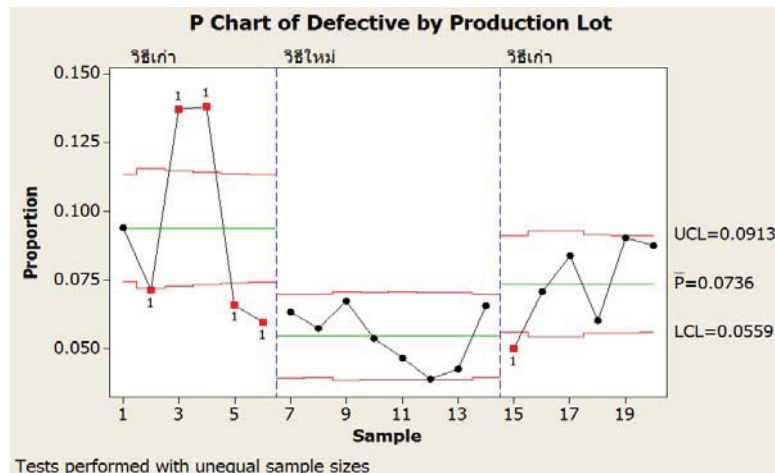
หลังจากศึกษาถึงผลผลกระทบที่อาจเกิดขึ้นจากการปรับปรุงแล้วจึงใช้กับงานจริงในสายการผลิตหัวอ่อนเชียนของอาร์ดิสก์รุ่นตัวอย่างจำนวน 8 ล็อต (จำนวนสไลเดอร์ 15,084 ตัว) ทำการผลิตต่อเนื่องกันไป โดยใช้เครื่องจักรเดียวกันกับที่ทำการทดสอบปัจจัยและเป็นเงื่อนไขเดียวกับการผลิตปัจจุบัน ดังตารางที่ 2 โดยปรับเปลี่ยนวิธีการกดบาร์ก่อนการขัดละเอียด

ตารางที่ 2 ระดับปัจจัยในการผลิตจริง (ใช้อยู่ในปัจจุบัน)

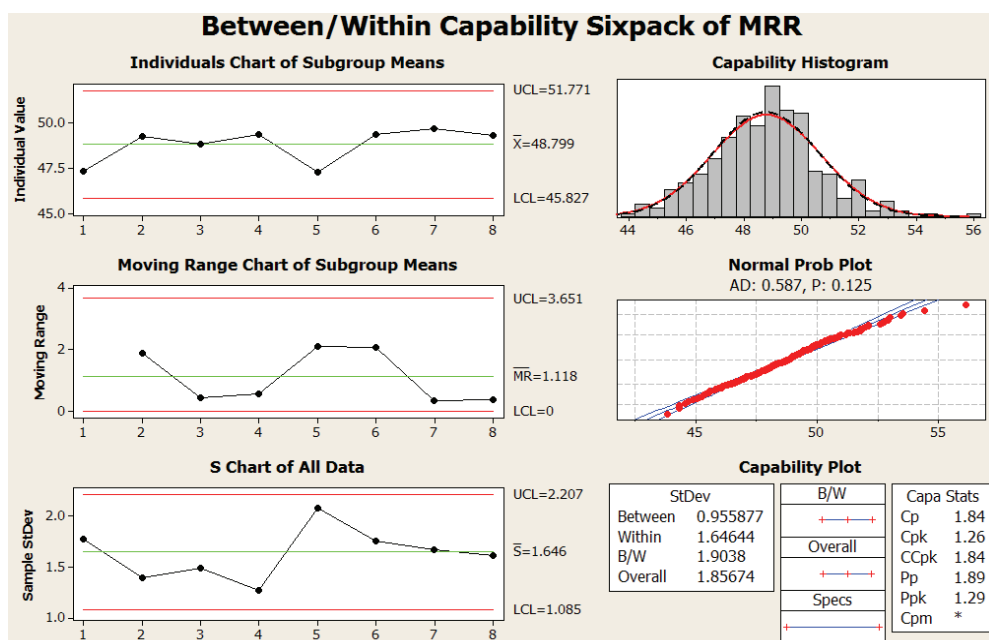
ปัจจัยที่ป้อนเข้า	หน่วย	ระดับปัจจัยในการผลิตจริง	
		Low	High
1. ความเร็วของงานขัด	รอบ/นาที	2	4
2. ความเร็วของแขนกล	Stroke/นาที	1	3
3. ระยะขัด	นิ้ว	1.1	2

เพื่อให้การยืนยันผลมีความน่าเชื่อถือเพิ่มขึ้น การปรับเปลี่ยนวิธีการกดบาร์ก่อนทำการขัดถูกแบ่งการทดสอบออกเป็น 3 ช่วง คือในการผลิต 20 ล็อต จะทำการเปลี่ยนวิธีการกดที่ล็อต 7-14 เท่านั้น เพื่อยืนยันว่าวิธีการกดช่วยลดความผันแปรของค่า MRR ระหว่างบาร์จริง และเพื่อมั่นใจได้ว่าความแตกต่างที่เกิดขึ้นไม่ได้เป็นอิทธิพลมาจากการ

ปัจจัยอื่นๆ เช่น วัตถุที่ใช้ในการผลิต เป็นต้น แล้วทำการทวนสอบผลการปรับปรุงด้วยแผนภูมิควบคุม p ดังรูปที่ 8 พ布ว่าวิธีการกดแบบใหม่ให้ค่าสัดส่วนของผลิตภัณฑ์นกพร่องประเภท MRR เท่ากับ 0.0546 ดีกว่าใช้วิธีการกดบาร์แบบเดิม ซึ่งอยู่ที่ 0.0938 และ 0.0736 ตามลำดับ



รูปที่ 8 แผนภูมิควบคุมสัดส่วนของเสียเบรี่ยนเทียบวิธีการกดแบบเดิมและกดแบบใหม่



รูปที่ 9 การทวนสอบความสามารถของกระบวนการขัดละเอียดหลังปรับปรุง

จากนั้นจึงทำการทวนสอบผลการปรับปรุงกระบวนการขัดละเอียด โดยการใช้วิธีการกดباركแบบใหม่ ด้วยการวิเคราะห์ความสามารถของกระบวนการขัดละเอียด ดังรูปที่ 9 พบว่า ค่าของดัชนี C_{pk} เท่ากับ 1.26 (เพิ่มขึ้น

เท่ากับ 0.41) ทำให้เปอร์เซ็นต์ผลได้โดยเฉลี่ยทางไฟฟ้าเพิ่มขึ้นมาอยู่ที่ร้อยละ 91.86 (เพิ่มร้อยละ 0.35) และทำให้ผลได้รวมเพิ่มขึ้นมาอยู่ที่ร้อยละ 84.81 ของชั้นงานที่ทำการผลิต

4. สรุปผล

งานวิจัยนี้ได้นำเสนอวิธีการลดของเสีย หรือผลิตภัณฑ์นักพร่องโดยเป็นขั้นตอนพร่องทางไฟฟ้าประเทคความต้านทานที่สูงหรือต่ำเกินไปที่เกิดขึ้นในกระบวนการผลิตหัวอ่อน Hayward ดีสก์เป็นปัญหาที่ส่งผลกระทบบุรุนแรงต่อผลได้และลูกค้า โดยเริ่มจากการทดสอบและวิเคราะห์ปัจจัยที่ควบคุมได้และได้รับการควบคุมอยู่แล้วในปัจจุบัน ซึ่งผลที่เกิดขึ้นนั้นการปรับปรุงปัจจัยหลักๆ ไม่สามารถลดของเสียที่เกิดขึ้นได้ ในการนี้ตัวอย่างคาดว่าเป็นเพรเวร่ายังมีปัจจัยที่ไม่สามารถควบคุมได้อีก แต่สามารถลดของเสียที่เกิดขึ้นได้เท่านั้นโดยย่างชัดเจน

5. ข้อเสนอแนะ

ผลจากการทำวิจัย พบว่าความผันแปรของค่าความต้านทานของงานระหว่างบาร์ในกระบวนการการขัด มาจาก การบิดตัวของบาร์ โดยจุดสำคัญของวิธีการกดบาร์นั้นก็คือ การทำให้รpane ของลิ้นเดอร์บาร์แบบสนิทติดอยู่บนภาชนะที่ติดอยู่บนนิ้วมือ ดึงลงก่อนที่จะนำไปขัดเสียก่อน โดยผู้วิจัยได้เสนอแนวทางในการควบคุมการบิดตัวของบาร์โดยการควบคุมวิธีการกดบาร์ไว้ 2 วิธี คือ วิธีแรกรโดยใช้คนและวิธีที่สองใช้เครื่องจักร ซึ่งจากการพิจารณาถึงข้อดีและข้อเสีย รวมถึงความคุ้มค่าในการใช้งานในความเห็นของผู้วิจัยได้เสนอให้ใช้เครื่องกดบาร์เพร่วางานที่ทำการผลิตในแต่ละวันมีเป็นจำนวนมาก การใช้คนบางครั้งอาจจะละเลยการปฏิบัติในขั้นตอนนี้ และการใช้เครื่องกดทำให้มันใจได้ว่าการปฏิบัติงานจะเป็นไปตามแผนการควบคุมที่วางไว้สำหรับตรวจสอบในจุดปฏิบัติงานนี้

6. กิตติกรรมประกาศ

งานวิจัยนี้ได้รับทุนสนับสนุนจากสำนักงานกองทุนสนับสนุนการวิจัยทุนวิจัยมหาบัณฑิต สกว. สาขาวิชาศาสตร์และเทคโนโลยีภายใต้โครงการสร้างกำลังคน

เพื่อพัฒนาอุตสาหกรรมระดับปริญญาโท (สกว.-สสว.) ประจำปี 2550

7. เอกสารอ้างอิง

1. ภัทร อายุวัฒน์, 2546, การลดของเสียที่เกิดจากค่าการรับน้ำหนักกดของชุดหัวอ่อนสำเร็จไม่ได้ตามข้อกำหนดในกระบวนการประกอบหัวอ่อนโดยใช้แนวทางชิกช์ชิกมา, วิทยานิพนธ์ปริญญาวิศวกรรมศาสตร์มหาบัณฑิต สาขาวิชาชีวกรรมอุตสาหการ คณะวิศวกรรมศาสตร์ จุฬาลงกรณ์มหาวิทยาลัย, หน้า 28-36.
2. มนัสวี ตันเจริญ, 2546, การเกิดผลิตภัณฑ์นักพร่องเนื่องจากการคายประจุของไฟฟ้าสถิตในกระบวนการผลิตหัวอ่อน Hayward รุ่นชีดรีฟ, วิทยานิพนธ์ปริญญาวิศวกรรมศาสตร์มหาบัณฑิต สาขาวิชาชีวกรรม ระบบการผลิต คณะวิศวกรรมศาสตร์ มหาวิทยาลัยเทคโนโลยีพระจอมเกล้าธนบุรี, หน้า 21-81.

3. วิทยากร ฤทธิมันตรี, 2545, การลดบริมาณผลิตภัณฑ์นักพร่องของอนวนในกระบวนการผลิตอนวนเส้นเดียว, วิทยานิพนธ์ปริญญาวิศวกรรมศาสตร์ มหาบัณฑิต สาขาวิชาชีวกรรมระบบการผลิต คณะวิศวกรรมศาสตร์ มหาวิทยาลัยเทคโนโลยีพระจอมเกล้าธนบุรี, หน้า 51-75.

4. วุฒิชัย เจริญยิ่งวัฒนา, 2546, การใช้กรรมวิธีทางชิกช์ ชิกมาเพื่อคีกษาลึงปัจจัยที่มีผลต่อคุณภาพงานพ่นสี, วิทยานิพนธ์ปริญญาวิศวกรรมศาสตร์มหาบัณฑิต สาขาวิชาชีวกรรมระบบการผลิต คณะวิศวกรรมศาสตร์ มหาวิทยาลัยเทคโนโลยีพระจอมเกล้าธนบุรี, หน้า 38-52.

5. ศิริวดี เอื้ออัณฑูติ, 2546, การลดการปนเปื้อนจากกระบวนการผลิตหัวอ่อนเขียนสำหรับคอมพิวเตอร์โดยการประยุกต์ใช้วิธีการชิกช์ ชิกมา, วิทยานิพนธ์ปริญญา วิศวกรรมศาสตร์ มหาบัณฑิต สาขาวิชาชีวกรรมอุตสาหการ คณะวิศวกรรมศาสตร์ จุฬาลงกรณ์มหาวิทยาลัย, หน้า 52-59.

6. สุมล มูลิกานุจña, 2547, การประยุกต์ใช้ชิกช์ ชิกมาในงานผลิตอุปกรณ์ไก่กวนนำแสง, วิทยานิพนธ์ปริญญาวิศวกรรมศาสตร์มหาบัณฑิต สาขาวิชาชีวกรรม ระบบการผลิต คณะวิศวกรรมศาสตร์ มหาวิทยาลัยเทคโนโลยีพระจอมเกล้าธนบุรี, หน้า 26-32.

7. Li, Y. and Meyer, D., 2001, "The Effect of Lapping Method on the Thermal Reliability of a GMR Head Based on Black's Equation", *IEEE Transactions on Magnetics*, Vol. 37, No. 2, pp. 974-976.
8. Li, Y., 2001, "Effect of Current Density and Stripe Height on the Amplitude of a Dual-Synthetic GMR Head", *IEEE Transactions on Magnetics*, Vol. 37, No. 4, pp. 1695-1697.
9. กิตติศักดิ์ พลอยพาณิชเจริญ, 2550, หลักการการควบคุมคุณภาพ, พิมพ์ครั้งที่ 1, สมาคมส่งเสริมเทคโนโลยี (ไทย-ญี่ปุ่น), กรุงเทพฯ, หน้า 100.
10. Madhav S.,P., 1989, *Quality Engineering Using Robust Design*, Prentice-Hall Internation Inc, New Jersey, pp. 1-211.
11. กิตติศักดิ์ พลอยพาณิชเจริญ, 2549, การวิเคราะห์ระบบการวัด, พิมพ์ครั้งที่ 5, สมาคมส่งเสริมเทคโนโลยี (ไทย-ญี่ปุ่น), กรุงเทพฯ, หน้า 61-174.
12. เกษมศักดิ์ ชุณหบุญญาทิพย์, 2550, การลดความผันแปรในค่า MRR จากการขัดที่กระบวนการผลิต BLKL ของหัวอ่านเซียนชาร์ดดิลก, วิทยานิพนธ์ปริญญาวิศวกรรมศาสตร์มหาบัณฑิต สาขาวิชาบริหารคุณภาพ คณะวิศวกรรมศาสตร์ มหาวิทยาลัยเทคโนโลยีพระจอมเกล้าธนบุรี, หน้า 1-114.